# Reparaciones de firmes drenantes en carreteras de alta capacidad. Experiencia en la autovía de las Rías Bajas, Ourense



Autovia de las Rias Bajas A-52 en Ourense.

POR ADOLFO GÜTLI CANCELA,
UNIDAD DE CARRETINAS DEL
ESTADO EN OURENISE,
JOSE MANUEL PIRIS RUESGA,
DEMARCACION DE CARRETERAS
DEL ESTADO EN GAUCIA,
MIGUEL A. MARTIN ATIENZA, U.T.E.
FERIOVIAL - EXTRACO,
BIALLIO LOPEZ GOMEZ, S.A.
FIRMES Y BETUNES,
JESUS NITIFIEZ ROCRUSUEZ, SOLUZIONA, CAUDAD Y MEDIO AMBUNTE

#### 1. Antecedentes

A nte la proliferación en la última década de carreteras con capa de rodadura drenante, cada vez es mayor la preocupación de las distintas Administraciones en los procedimientos que se deben seguir para los trabajos de reparación y conservación.

Así, durante septiembre de 2001 por parte de la Unidad de Carreteras del Estado en Ourense se efectuaron una serie de reparaciones puntuales del firme en la Autovía de las Rias Bajas A-52, en la provincia de Ourense, con reposición de mezcla drenante del tipo PA-12.

El trabajo que se desarrolla a continuación pretende recoger las características de los materiales empleados, así como los ensayos realizados y los resultados obtenidos, y esbozar una serie de conclusiones sobre el procedimiento.

### 2. Reparaciones efectuadas

Las reparaciones electuadas fueron las que se muestran en la toble I.

### 3. Características de los materiales empleados

Para las reparaciones efectuadas se ha utilizado una mezda drenante del tipo PA-12, fabricada en la planta asfáltica de áridos de Astariz, de acuerdo con los datos que se adjuntan en la tablo 2.

#### 3.1. Aridos

Los áridos empleados en la fabricación de dicha mezcla son de naturaleza silicea. Su fórmula de trabajo se muestra en la tabla 3 y la figura 1.

#### 3.2. Betún

El betún utilizado ha sido un BM-3b, cuyas específicaciones son las mostradas en la toblo 4.

#### 3.3. Emulsión asfáltica.

La emulsión astáltica utilizada como riego de adherencia ha sido una ECR-2, cuyas características ensayadas en el laboratorio han sido las reflejadas en la table 5.

### 3.4. Control de fabricación.

Durante al ejecución de la obra se han realizado una serie de probetas para comprobación de la fórmula de trabajo, que han dado los resultados mostrados en la tabla 6.

### 4. Procedimiento seguido para las reparaciones

Durante los trabajos se siguió la siguiente secuencia:

- Corte del pavimento con fresadora, evitando asi la formación de finos que provoca el corte con radial, para evitar tupir los huecos de la mezcla drenante. Se verificó que dicha fresadora tenia sus picas en buen estado, lo que dio lugar a cortes finos.
- Limpieza exhaustiva de la caja abierta, lo que garantiza la climinación de cualquier fragmento o fino que pudiera saturar los huecos, al mismo tiempo que se aumenta la adherencia. Incluso se empleó un compresor de aire para la limpieza de los huecos que aseguraba que no se tupieran con pequeñas partículas de mezcla.

P.K. aprox.	VOLUMEN	Superficie reparada longitud x anchura
239+650	17,01	14 m x 8,3 m (*)
240+020	36,01	30 m x 11,5 m
227+775	18,0 t	20 m x 10,5 m
195+735	8,31	14,7 m x 3,7 m (*)
228+750	23,5 t	16,0 m x 11,6 m
229+450	21,41	20,0 m x 10,5 m

(\*) La reparación no cubre todo el ancho de la calzada

Table 1

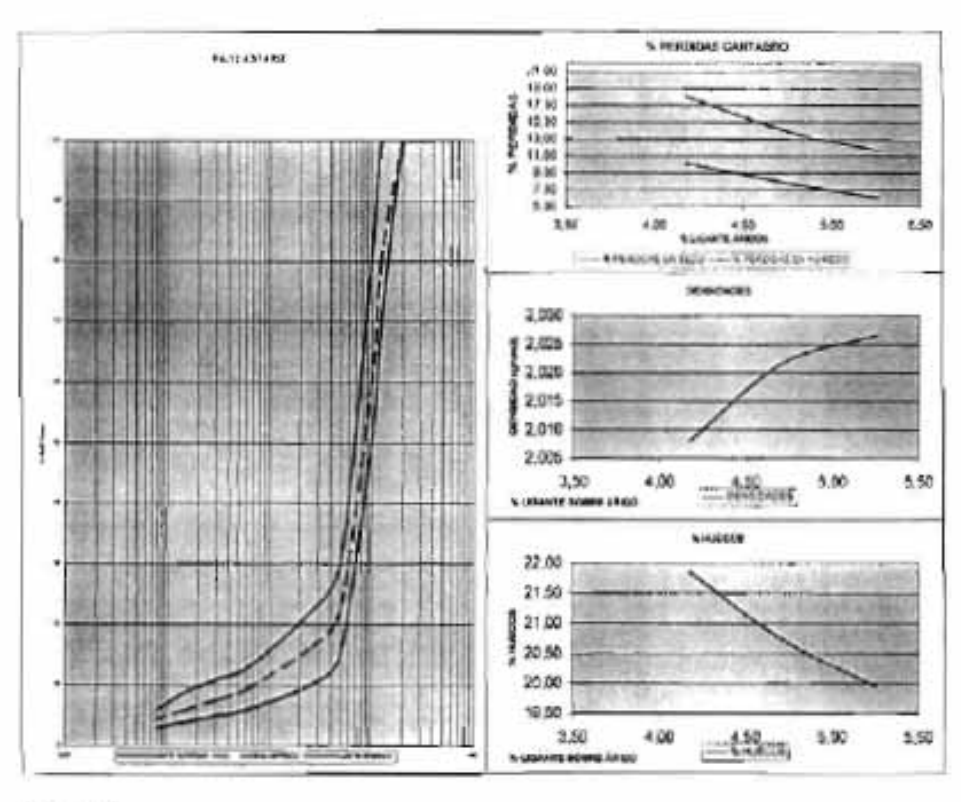


Figura 1.

- Empleo de emulsión mocificada del tipo ECR-llm.
- Organización de los tajos para conseguir que el aglomerado flegara a obra a la temperatura adecuada.
- Extensión y compactación de la mezcla drenante.

### 5. Ensayos realizados

Tras la actuación realizada, la Unidad de Carreteras del Estado en Ourense pidió la colaboración de Norcontrol, S.A. para la realización de una serie de ensayos en dichos tramos. El objeto de este estudio era el de comparar la drenabilidad de los pavimentos nuevos y antiguos en las reparaciones que se realizaron en dicha Autovia A-52.

Para ello, y tras la inspección visual, se realizó una campaña de ensayos, consistente en lo siquiente:

- Medida de permeabilidad in situ con permeámetro LCS según la NLT 327/88.
- Cálculo de huecos totales e interconectados.
- Extracción de testigos en las juntas entre el pavimento nuevo y el antiguo.

Por huecos interconectados se entiende la parte de los huecos totales que se encuentran comunicados entre si, permitiendo que el aqua circule a través de ellos.

	ÁRIDOS A	HÁLISIS GR	ANULOMÉTR	HCOS			TARRES	O PERSONAL PROPERTY.			
ÁRIO05	40	25	20	12,5	10	5	2,6	0,63	0,32	0,18	0,08
13.3707		0	e e	0	0		. 6	6	0	6	
12_18	100	100	100	14.9	9,8	9,6	0,6	0.6	0.4	0.2	0.1
B 12	100	100	100	98.3	67.1	1.6	9,9	9,4	0.3	0,3	0,2
0-6	100	100	100	100	106	97.1	49.5	36.9	30.8	73	19
CEMENTO	160	100	100	100	100	100	100	160	100	100	100
	COMPOSIC	ÓN GRANUI	LOMÉTRICA				10.51	10° 18'			
76	40	28	20	12.5	10	5	2,8	0,63	0,32	0,16	0,08
Ó		0	0	0	0	0	0	0	- 0		0
22	22	22	72	3.778	0.176	0.132	0.132	0.132	0.088	0.044	6.022
56	58	54	54	55,048	37.668	0.890	0,446	0.224	6.168	0.164	6,112
21	21	21	21	21	21	20.101	14.555	8.108	6,408	4,93	3.96
1	1 1	1	1.	1	1	1	3	. 1	4.	1.	1
100	40	25	20	HUSO GRAN	10	5	2.5	0.63	0.32	0,16	0,08
WE SURVEY	100	100	100	100	50	30	22	13	11	- 9	
MIN SETTIMA	100	100	100	80,328	69,864	22,419	18, 175	0,525	7,724	6,042	4,49
WILL SHAPPA	100	100 CÁLCULO DE	100 LAS DENSIDA	70 IDES DE LAS	PRDEETAS	15	10	0	,	•	
	1	2	3	4	5	6	7	. 8	9		
WASA CHARRY	1032,2	1033.1	1032,3	1034,2	1032,5	1033.8	1040,7	1043,3	1042,2		
VOLUMEN	513.3	511	518.3	511	511.6	511	513,3	611	618.3		
OQUIDAD	2.011	2,022	1,992	2.024	2,019	2,023	2,027	2,042	2.011		
VALOR MED	10	2,008		1	2,022		- 1	2,027			

Tabla 2

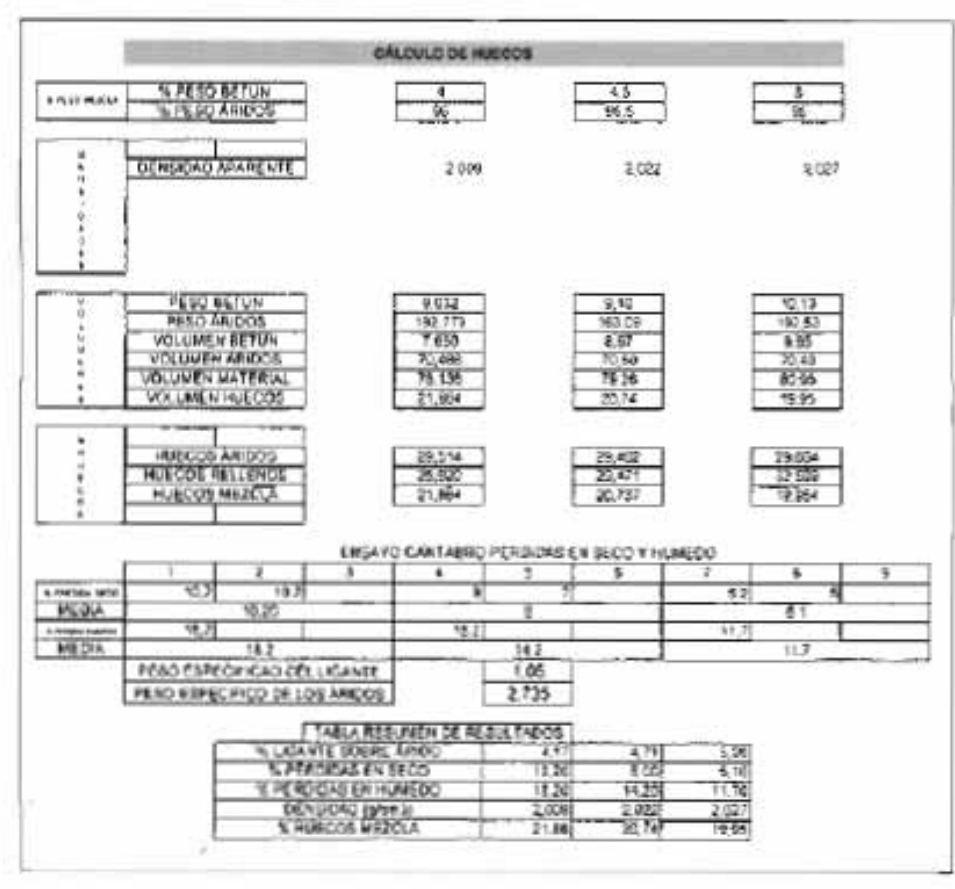


Tabla 3.

Para su determinación se han extraido unas probetas cilindricas, que se han paratinado en su contorno, aplicándoles a continuación, una carga de agua. Ello ha permitido evaluar los huecos interconectados por medio del tiempo transcurrido en pasar dicha carga de agua a través de las probetas. Este ensayo, realizado en el laboratorio, permite calcular la densidad del diseño de la mezcla.

Dichos ensayos se realizaron a portir de testigos extraídos en la campaña realizada entre los meses de enero y febrero de 2002.

#### 5.1. Puntos de ensayos

La nomenclatura y situación de los puntos de ensayo escogidos se indican en la tabla 7.

Se adjunta un croquis (figura 2) con la situación de los puntos de ensayo donde se extrajeron los testigos.

- Punto "M1" en el pavimento nuevo (reparado)
- Punto "M2" en el pavimento antiguo.
  - Punto "M3" en la junta.

La situación de los puntos de ensayo en el tramo F es diferente de los demás. El punto "M2" es anterior al "M1"; pues, tras la reparación, existe una estructura sin pavimento drenante.

Por último, conviene señalar que todos los puntos de ensayo se han realizado en el arcen, excepto en el tramo "A", ya que en este tramo la reparación sólo alectaba a la calzada y no al arcên.

#### 5.2. Ensayos

Como se ha comentado en el apartado anterior, se realizaron los siguientes ensayos dentro de cada tramo:

- En los puntos M1 y M2, medidas de permeabilidad in situ del pavimento drenante con el permeámetro LCS.
- En los puntos M1, M2 y M3, extracciones de testigos para realizar los siguientes ensayos: huecos totales e interconectados en M1 y M2 e inspección visual en M3.

Los resultados de los ensayos fueron los mostrados en las toblas 8, 9, 10, y figuras 3, 4 y 5.

## 5.3. Primeras campañas de ensayos. Conclusiones.

A partir de los datos obtenidos, se ha apreciado que el coeficiente de permeabilidad del pavimento nuevo es siempre mayor que el del antiguo, con una buena separación en la mayoria de los casos.

En cuanto al ensayo de los huecos totales e interconectados, no se ha podido sacar una conclusión fiable de los resultados obtenidos. Existían resultados poco representativos, lo que aconsejó realizar series de varios testigos por cada punto para poder desechar los valores anómalos y caicular valores medios.

En los testigos M3 extraidos se ha apreciado una buena continuidad en las juntas, ya que no existe una diferencia apreciable a simple vista entre el pavimento nuevo y el antiguo.

### Campaña de ensayos complementarios

Debido a la existencia de resultados anómalos en el cálculo de los huecos totales e interconectados, se realizó en el mes de mayo de 2002 una campaña adicional para complementar los ensayos realizados en la campaña anterior.

Los puntos de ensayo escogi-

	BETÚN UTILIZADO	ESPECIFICACIÓN BM-3b
ANILLO Y BOLA	72	> 60
RECUPERACIÓN ELÁSTICA	71	>40

Tabla 4

CARACTERÍSTICA	RESULTADO
CONTENIDO DE LIGANTE	63,2 %
CONTENIDO DE FLUXANTES	1,3 %
CARGA DE LAS PARTICULAS	POSITIVA
pH	2,8
VISCOSIDAD A 50 °C	26 s
SEDIMENTACIÓN A 7 DÍAS	3,5

Tobla 5.

dos para esta campaña complementaria fueron los que correspondian con los puntos donde se habían obtenido valores anóma-



Equipo de fresado.

los, que se detallan en la tabla 11.
En cada uno de los puntos se
extrajeron 3 testigos respetando
la nomenelatura de la campaña



DENSIDAD	% HUECOS	CÁNTABRO SECO	CÁNTABRO HÚMEDO
2,00	20,9	8,2	14,8
2,03	20,1	7,2	
2,02	20,6	7.9	13,6
2,01	21	8,8	

Tabla 6.

D. PUNTO	P.K.	MARGEN (sentido de la calzada)
Α	195+735	Derecha (Benavente-Vigo)
В	227+775	(Zquierda (Vigo-Benavente)
C	240+020	Izquierda (Vigo-Benavente)
0	239+650	Derecha (Benavente-Vigo)
E	229+450	Derecha (Benavente-Vigo)
F	228+750	Derecha (Benavente-Vigo)

Tobla 7.

anterior. Se extrajeron un total de 24 testigos (tabla 12).

Los resultados de los huecos totales e interconectados fueron los detallados en las tablas 13 y 14, y figuras 6 y 7.

### 7. Conclusiones de las campañas de ensayos

· Con las reparaciones efectuadas se consigue una mejor per-





Equipo de extendido

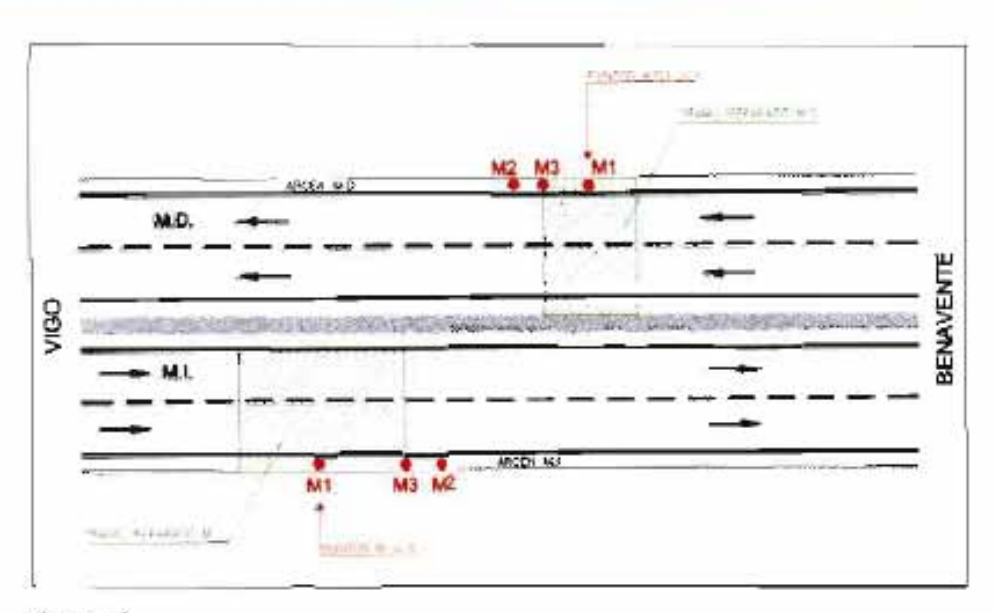
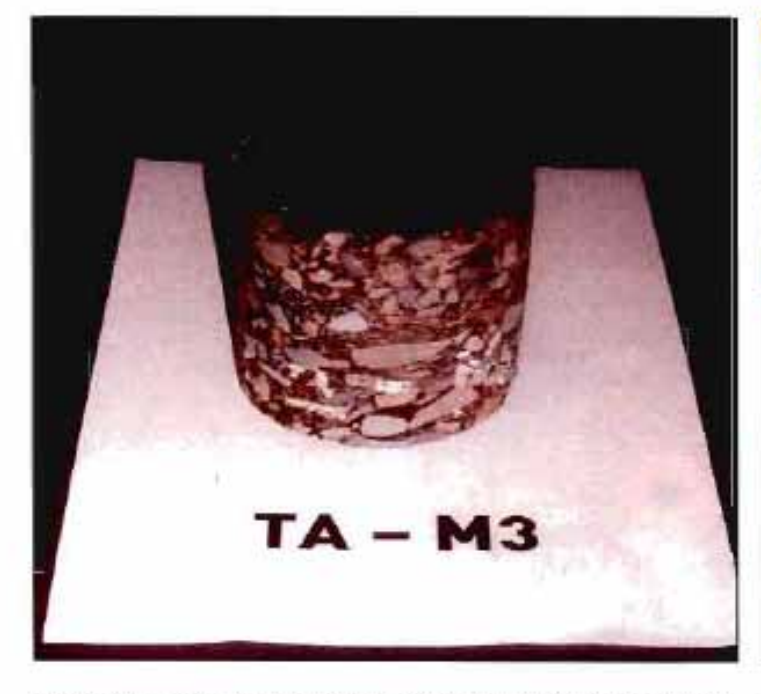


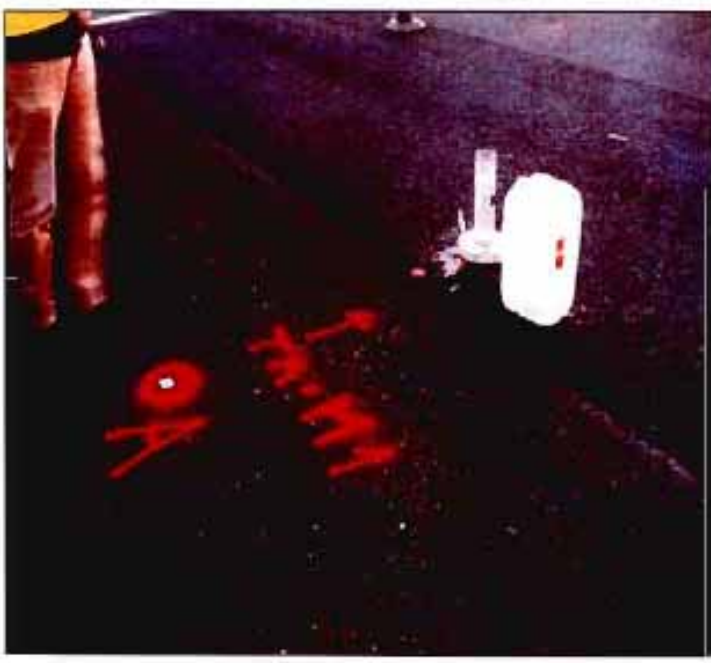
Figura 2.



Compaña de extracción de testigos.



Testigo extraido en junto entre paumento nuevo y antiguo.



Ensayo de permeabilidad.

5.21	Cálculo de k	promedia	(cm/s)*1	0.2

CONTRACT DESCRIPTION	K promedio (cm/s)*10-2			
PUNTO/P.K.	Drenante nuevo	Drenante antiguo		
A/ 195+735 MD	26,36	13,70		
B/ 227+775 MI	44,83	8,01		
C/ 240+020 MI	43,98	2,27		
D/ 239+650 MD	31,47	4,07		
E/ 229+450 MD	38,05	2,33		
F/ 227+750 MD	25,71	3,62		

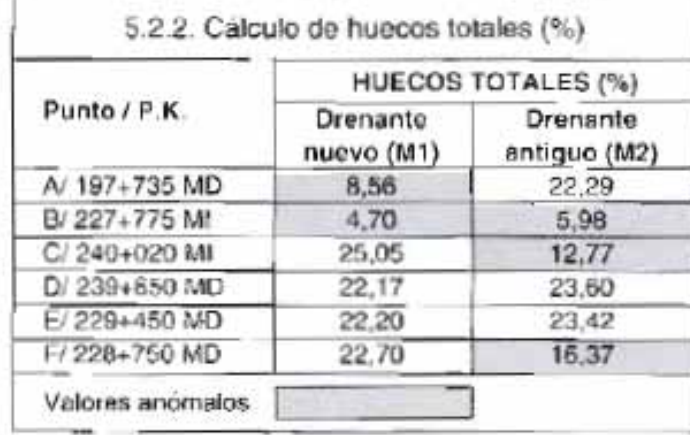
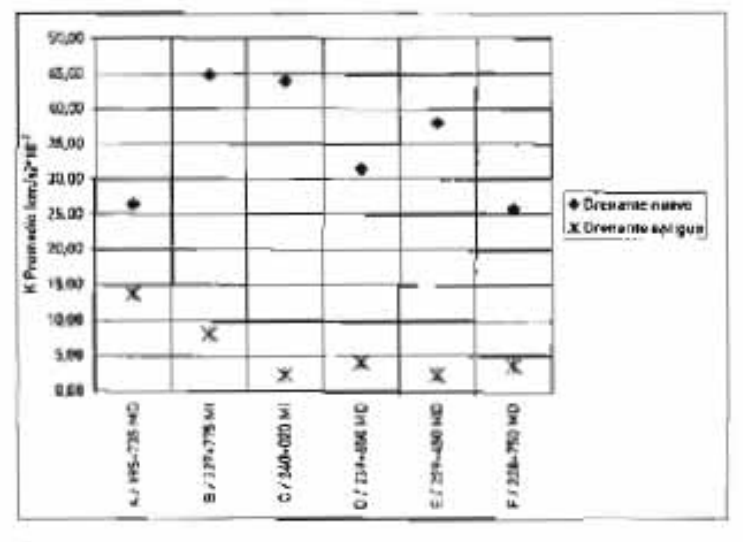


Tabla 8



Tobla 9.

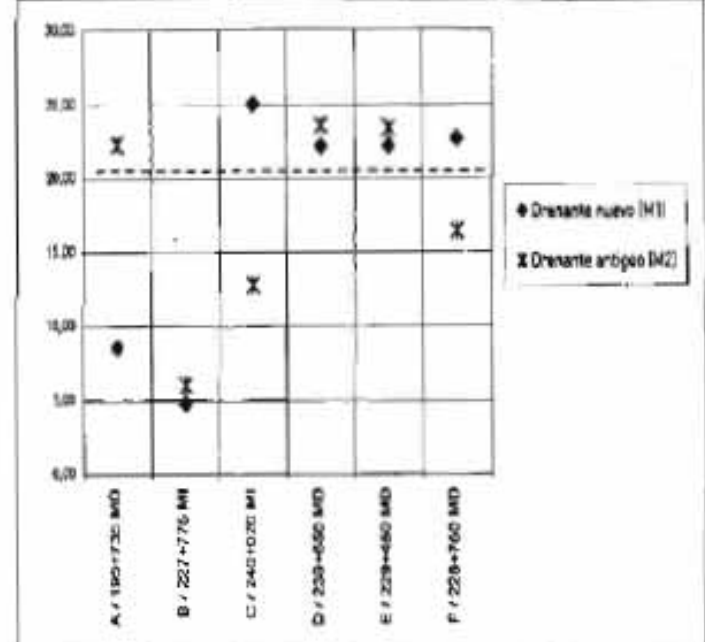


Figura 3.

meabilidad, apreciándose que el coeficiente de permeabilidad del pavimento nuevo es siempre mayor que el antiguo.

- Dado el tiempo transcurrido desde la realización de las reparaciones y las fuertes lluvias acaecidas, se ha comprobado durante las inspecciones visuales realizadas que las reparaciones funcionan, apreciándose un buen drenaje del agua en los puntos tratados faun cuando no se puede sacar una conclusión clara de los huecos totales e interconectados). Esto se demostró con las inspecciones visuales desarrolladas, que confirman la importancia del cálculo de huecos interconectados. que son los que van a permitir el paso del agua y evitar la formación de barreras que impidan su drenaje.
- En las zonas por reparar que coincidan con fuertes pendientes.

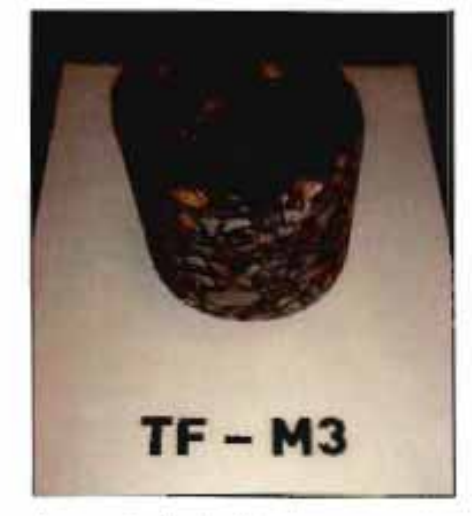
tanto longitudinales como transversales, el procedimiento

la mezcla.

análogo: pero debe cuidarse especialmente la limpieza de la caia para evitar formar una barrera al paso de agua. Se ha demostrado que se ha evitado la formación de dicha barrera, y la mejor demostración han sido las inspecciones visuales desarrolladas. Esto confirma el método previo seguido de cálculo de huecos interconectados que permiten el paso del agua a través, y, por tanto, evitan la formación de barreras al drenaje de

Figura 4

- Se aprecia una buena confinuidad en las juntos, como se ha verificado en la inspección visual de todos los testigos extraidos.
- El procedimiento empleado en las reparaciones se considera correcto, y se ha sancionado pa-



Inspección de testigos.

ra ser utilizado en las reparaciones que se efectúen en la Autovía de las Rías Baias en la provincia de Ourense.

Punto / P.K	HUECOS TOTALES (%)			
	Drenante nuevo (M1)	Drenante antiguo M2)		
A/ 197+735 MD	1,70	21,40		
8/ 227+775 MI	2,30	0,50		
C/ 240+020 MI	19,20	7,80		
D/ 239+650 MD	15,80	16,10		
E/ 229+450 MD	15,60	16,00		
F/ 228+750 MD	14,60	10,40		

Table 10.

	ON 052-581-77	1 200401/6	A 0. M. C	Or Charles 16	E4 001-462 / 3	ON ESCHARGE LY	
	٠	*					
						-	
6,90				-		_х	3 fremme anguited
CM.				¥		•	Dimensional PVS
1,00		-					
1.00	1000						7

Figura 5.



Reparaciones efectuadas.

8. Consideraciones
económicas del
método empleado

En función de los resultados cuvas conclusiones se han analiza-

ID. PUNTO	P.K.	MARGEN (sentido de la calzada)
A	195+735	Derecha (Benavente-Vigo)
В	227+776	Izquierda (Vigo-Benavente)
¢	240+020	Izquierda (Vigo-Benavente)
F	228+750	Dorocha (Benavente-Vigo)

Tabla 11.

A (195+735 MD)		B (227+775 MI)		
Nuevo M1	Antiguo M2	Nuevo M1	Antiguo M2	
TA-M1 #	TA-M2 a	TB-M1 a	TB-M2 a	
TA-M1 b	TA-M2 b	TB-M1 b	TB-M2 b	
TA-M1 c	TA-M2 c	18 M1 c	TB ME o	
(240+0		(228+7	50 MD)	
Nuevo M1	Antiguo M2	Nuevo M1	Antiguo M2	
TO-M1 a	TC-M2 a	TF-M1 a	TF-M2 a	
TC-M1 b	TC-M2 b	TF-M1 b	TF-M2 b	
TC-M1 e	TC-M2 c	TF-M1 ¢	TF-4/2 ¢	

Table 12.



Campaña de extracción de testigos.



do en el apartado anterior, se considera que el sistema estudiado es un buen método de reparación de pavimentos drenantes.

Como consecuencia final, cabria preguntarse por la cuestión econômica del método empleado. Parece evidente que el empleo de mezclas drenantes tiene una repercusión económica en el precio, dado que se emplea betún modificado. Este incremento económico no es el mayor factor que se debe tener en cuenta, sino la posibilidad de que a las plantas de aglomerado les sea rentable fabricar las cantidades necesarias para realizar pequeñas reparaciones en la autovía. Este balance económico es un factor muy importante a la hora de decidir adoptar este método.

		HUECOS	TOTALES	
	A (195	735 AD)	B (227	+775 MI)
	Nuevo	Antiguo	Nuevo	Nuevo
98 9-8-2-2-2-2-2-2-2-2-2-2-2-2-2-2-2-2-2-2-	TA-M1	TA-M2	TB-M1	TC-M1
Huecos Totales	22,37	21,52	27,93	22.49
	25,84	20,40	15.25	22,84
	26,29	23,41	18,22	22,93
Media (%)	24.83	21,78	20.47	22,75
Desv. est.	2,15	1,52	6,63	0,23

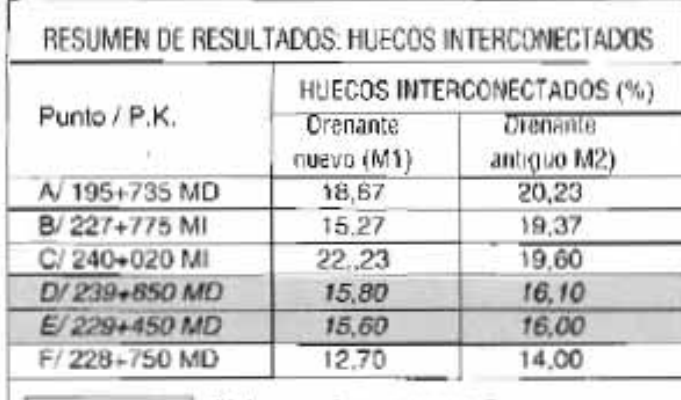
	HUECOS TOTALES			
	C(240+020 MI)		F(228+750 MD)	
	Nuevo TC-M1	Antiguo TC-M2	Nuevo TF-M1	Antiguo TF-M2
Huecos Totales	27.66	23.95	18.99	19.06
	24.39	22 98	19.82	15.67
	25.85	23.96	18.86	21.01
Media (%)	25.97	23.53	18.50	18.58
Desv. est.	1.64	0.58	1.46	2.70

	HUECOS INTERCONECTADOS			
	A (195+735 AD)		B (227+775 MI)	
	Nuevo Antiguo		Nuevo	Antiquo
	TA-M1	TA-M2	TA-M1	TA-M2
Huecos Totales	15.80	19.90	23.70	19.50
	19.70	19.10	9 30	19 10
	20.50	22.70	12.80	18.50
Media (%)	18.67	20.23	15.27	19.37
Desv. est.	2.51	2 32	7.51	0.23

	HUECOS INTERCONECTADOS			DOS
	C(240+020 M1)		F(228+750 MD)	
	Nuevo	Antiguo	Nuevo	Antiguo
	TC-M1	TC-M2	TF-M1	TF-M2
Huecos Totales	23.80	20.60	14.30	13.80
	20.60	19 00	13.10	11.00
	22.30	19.20	10.70	17.10
Media (%)	22.23	19.60	12.70	14.00
Desv est	1.60	0.87	1.83	3.00

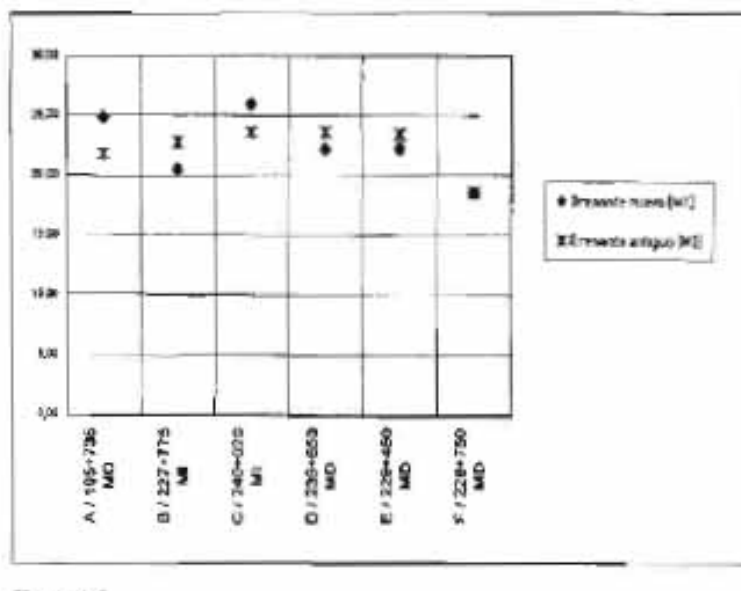
Punto / P.K-	HUECOS TOTALES (%)			
rumo / r.k	Orenante nuevo (M1)			
A/195+735 MD	24,83	21,78		
B/ 227+775 MI	20,47	22,75		
C/ 240+020 MI	25,97	23,63		
D/ 239+650 MD	22,17	23,60		
E/ 229+450 MD	22,20	23,42		
F/ 225+750 MD	18,50	18,58		

Punto / P.K-	HUECOS TOTALES (%)				
T dillo y T .tx	Orenante nuevo (M1)	Drenante antiguo M2)			
A/195+735 MD	24,83	21,78			
B/ 227+775 MI	20,47	22,75			
C/ 240+020 MI	25,97	23,63			
D/ 239+650 MD	22,17	23,60			
E/ 229+450 MD	22,20	23,42			
F/ 225+750 MD	18,50	18,58			



: Valores primera campaña

Tabla 13.



Tubia 14.

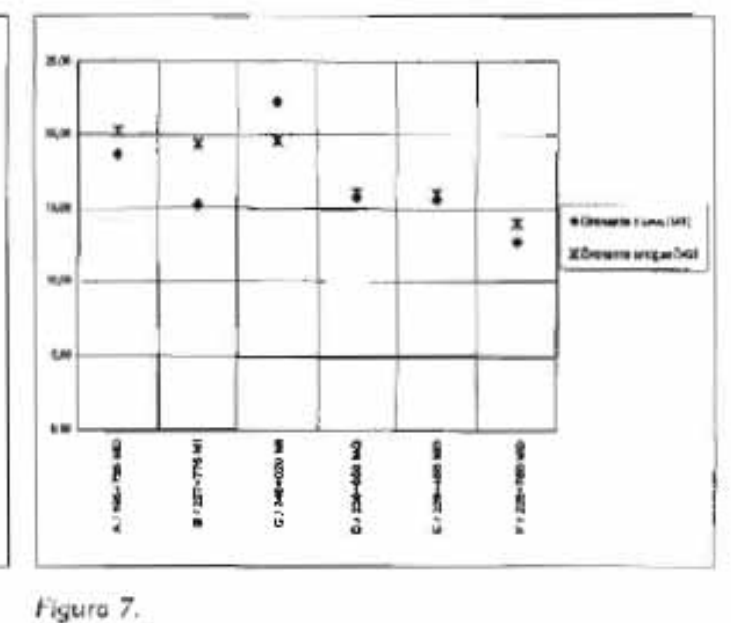


Figura 6.

Así las recomendaciones de los que suscriben este trabajo serían las siguientes:

 Tener en cuenta, en los proyectos de reparaciones que se va-

yan a realizar, el sobrecosto que produce el empleo de las mezclas drenantes.

Siempre que la explotación de la vialidad lo permita, intentar agrupar varias actuaciones en una campaña de reparaciones, para posibilitar que les plantas de aglornerado puedan fabricar la mezcla drenante necesaria para las obras.